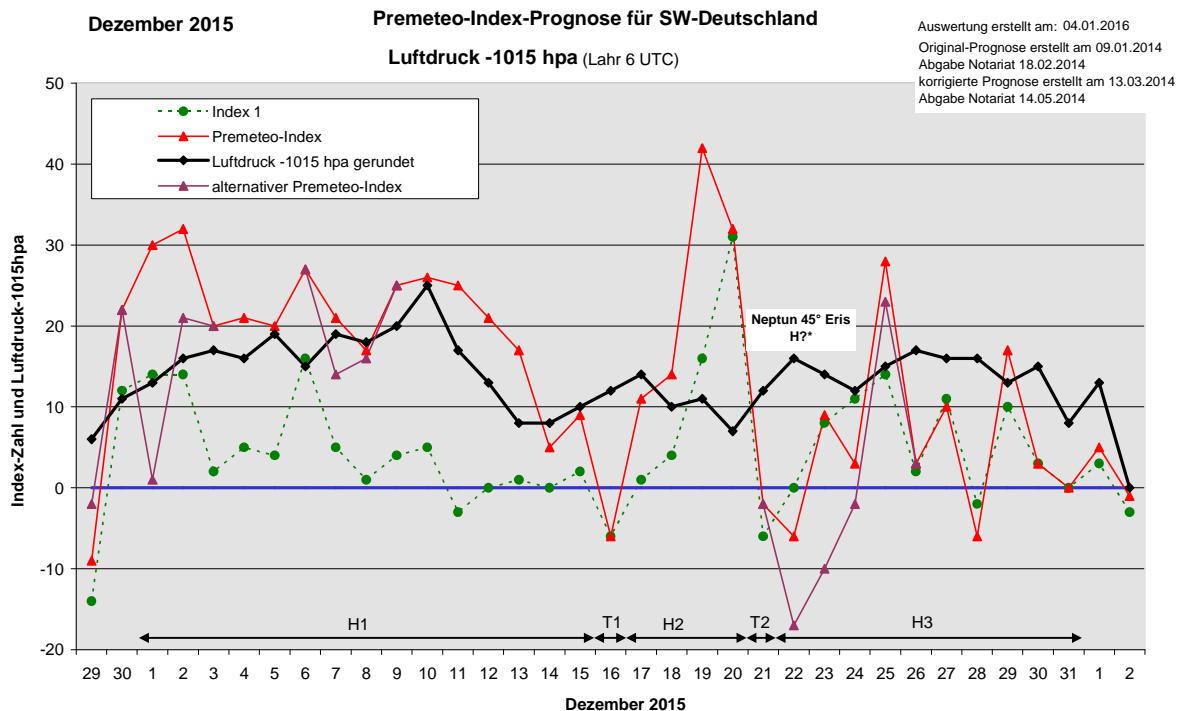


Wetterlagenverlauf Dezember 2015 im Vergleich zur Premeteo-Indexprognose für Südwest-Deutschland

(Im Diagramm sind über der Datumsachse die real eingetreten Hoch- und Tiefdruckphasen durch Doppelpfeile eingetragen. Ausschlaggebend für die Evaluation ist der tägliche Premeteo-Index, in der dünneren, roten Linie mit Dreieckspunkten dargestellt. Ein negativer Premeteo-Index zeigt die Wahrscheinlichkeit für eine zyklonale Tiefdruckströmung, ein positiver Premeteo-Index die Wahrscheinlichkeit für eine antizyklonale Hochdruckströmung an.

Die Wetterlagenbeschreibungen wurden anhand der Berliner Wetterkarten erstellt. Ausschlaggebend ist die Europa-Bodenkarte um 0 UTC, die feiner skalierte 12 UTC-Karte von Mitteleuropa wird nur bei einem Wetterlagenwechsel für die Einordnung des Tages hinzugezogen. Am Ende des Dokuments befinden sich die Tabellen und Konstellationen, die dem Diagramm zugrunde liegen.)



Hochdruckphase 1: Die Hochdruckwetterlage, die sich seit dem 26. November 2015 eingestellt hatte, setzte sich im Dezember durch Hoch Xena fort, das sich mit seinem Kern vom Nordosten der Iberischen Halbinsel über Frankreich nach Deutschland und am 4. auf den Balkan bewegte. Am 4. streifte der Trog von Tief Rudi über der Nordsee nur kurz unsere Region, die sogleich wieder unter Hochdruckeinfluss durch Hoch Yvonne kam, das seinen Kern vom Atlantik nach Frankreich verlagerte. Die Witterung war für die Jahreszeit sehr warm. Der hohe Luftdruck war in Übereinstimmung mit dem Premeteo-Index, der für den ganzen Dezember meist oberhalb der Nulllinie verlief. Am 6. lag der Kern von Hoch Yvonne über Mittelitalien. Der Glanz der Sonne im Blau der Atmosphäre und die milden Temperaturen zeugten am Übergang des Oberrheingraben zum Schwarzwald vom Mittelmeercharakter des Hochs. So auch am 7., als der Kern von Hoch Yvonne über der Nordadria lag. Am 8., als Merkur in Konjunktion trat mit dem Galaktischen Zentrum unserer Milchstraße und mit Quaoar, standen sich das starke Hoch Yvonne über Europa (Kern über Ungarn) und das kräftige Tief Shigeru (Kern über dem Mittelural) über dem russischen Raum einander gegenüber. In der Nacht vom 8. zum 9. Dezember wurde kurzfristig die Höhenkaltfront von Tief Uwe II über dem Nordmeer wetterwirksam. Doch setzte sich gleich wieder bei kräftig steigendem Druck das Hoch Zita mit Kern über der Biskaya durch. Am 10. hatte sein Kern Süddeutschland erreicht, am 11. lag er über den Alpen. Das Hoch teilte sich am 12. mit einem Kern über Südwestfrankreich und einem Kern über dem Balkan und es blieb bis zum 13. wetterbestimmend. Der Luftdruck fiel etwas ab und zeigte damit einen ähnlichen Verlauf wie der Premeteo-Index, aber die antizyklonale Wetterlage blieb bis zum 15. erhalten. Es war dann Hoch Annice über den Karpaten, in dessen Isobarenbereich

unsere Region fiel. 15 Tage lang hatte diese Hochdruckphase ganz in Übereinstimmung mit dem Premeteo-Index angehalten! Der Premeteo-Index summierte auf +316.

Tiefdruckphase 1: Der Luftdruck war zum 16. schon wieder etwas angestiegen, aber dennoch kam Südwestdeutschland erst an diesem Tag in den Trogbereich von Tief Xola, das sich mit seinem Kern nordwestlich von Irland befand. Dies war wiederum in völliger Übereinstimmung mit dem Premeteo-Index, der an diesem Tag einen einzelnen negativen Wert von -6 aufwies.

Hochdruckphase 2: Rasch stellte sich erneut eine antizyklonale Strömung ein, zunächst um einen Hochdruckkern über Südostfrankreich. Dann verlagerte sich am 18. 19. und 20. das Zentrum der Strömung zu Hoch Brigitte über den Balkan. Der Premeteo-Index hatte am 19. und 20. sehr hohe Werte von +42 und +32 und die starke Antizyklonalität des Mittelmeerraums verhinderte ein Vordringen der atlantischen Tiefs bis in unsere Region. Der Premeteo-Index summierte über die 4-tägige Hochdruckphase auf +99.

Tiefdruckphase 2: Am 21. konnten die Tiefdruckgebiete Zwi I und Zwi II über dem Nordmeer und Nordskandinavien ihren Einfluss bis über unsere Region ausdehnen. Lokal regnete es zum Teil kräftig. Der Premeteo-Index hatte einen Wert von -2.

Hochdruckphase 3: Hoch Brigitte verlagerte seinen Schwerpunkt nach Italien und erfasste damit erneut den süddeutschen Raum mit seinem Isobarenbereich. Der Premeteo-Index hatte einen Wert von -6, der nur im Index 3 zustande gekommen war. Die Konjunktion von Mars mit Haumea, ein ausgewiesener H-Aspekt, scheint lokal dominant zu sein. Außerdem wurde an diesem Tag der Aspekt Neptun 45° Eris 90° exakt, dessen Impuls noch unbekannt war. Das Heranrücken des Hochdruckkerns mit seinem Isobarenfeld könnte auf einen H*-Aspekt hindeuten. Zum 23. hatte sich der Kern von Hoch Brigitte in den Süden des Mittelmeers verlagert und die mediterrane Winterwitterung setzte sich fort. Am 24. lag der Kern über Kroatien, am 25. über Norditalien, wurde dann bis zum 28. über den mittleren Alpen stationär und verlagerte sich am 29. nach Sardinien, wo es als Hoch Brigitte zum letzten Mal in der Berliner Wetterkarte gekennzeichnet war. Am 30. kam die Region in den Bereich eines Hochdruckkeils, der von Hoch Christine über dem Baltikum ausging. Am letzten Tag des Jahres 2015 wurde Südwestdeutschland von den Regengebieten des Tiefs Friedbert über Großbritannien gestreift, doch dehnte sich bis zum Mittag der Isobarenbereich von Hoch Christine, das sich erneut verstärkte, bis über unsere Region wieder aus. Der Premeteo-Index summierte für diese Hochdruckphase bis zum Monatsende auf +61.

Zusammenfassung:

Der Dezember 2015 war ein sehr erfolgreicher Monat für die Premeteo-Prognosen! Es gab nur zwei Fehlprognose-tage. Gemäß dem Premeteo-Index wäre mit vier Tiefdrucktagen zu rechnen gewesen. Es setzten sich nur zwei zyklonale Tage durch, jedoch gerade auch an den Tagen mit negativem Index.

Auffallend an dieser lang anhaltenden Hochdruckperiode war, dass sich die Kerne der Hochs Xena, Yvonne, Zita und Brigitte immer südlich unserer Region befanden und uns mit der milden Witterung des mediterranen Luftraums verbanden. Venus und Mars kamen in dem Zeitraum in Konjunktionen mit Haumea, Sonne und Merkur in Konjunktionen mit dem Galaktischen Zentrum und Quaoar. Die höchsten Tagesmitteltemperaturen kamen zustande am 17. (Lahr $12,4^\circ\text{C}$) mit Sonne 72° Mondapogäum und am 25. (Lahr $12,1^\circ\text{C}$) zwischen Venus 60° Jupiter am 24. und Venus 60° aufst. Mondknoten am 26. Dezember.

SW-D befand sich an 29 Tagen im Einflussbereich antizyklonaler Strömung. Die Summe des prognostizierten Premeteo-Index für diese Tage ergab +476, das einer Indexzahl von +16,41 pro Tag entsprach.

An 2 Tagen befand sich SW-D im Einflussbereich zyklonaler Strömung. Die Summe des prognostizierten Premeteo-Index für diese Tage ergab -8, das einer Indexzahl pro Tag von -4 entsprach.

Die Prognose durch die Premeteo-Wettersymbole war an 4 Tagen falsch (am 1., 4., 11., 12.), an 16 Tagen richtig und an 11 Tagen tendenziell richtig.

04.01.2016
Dezember 2015
01.12.2015



Prognose für SW-Deutschland
korrigiert mit Quaoar- und Makemake-Aspekten

Noch immer sind Makemake mit dem GSZ und Quaoar mit dem GaZ in Konjunktion. Beide Aspekte sind unbekannt. Sie lösen vom 1. bis 20. immer wieder H-Aspekte aus, die die Prognose eventuell verfälschen können. Am 8. Dreier-Konjunktion GaZ-Qua-Mer. Am 19./20. Dreierkonjunktion GaZ-Qua-Son. Am 22. wird der unbekannte Aspekt Neptun 45° Eris exakt.
Am 28.12.2015 geht die Konjunktion von Quaoar mit dem Galaktischen Zentrum zu Ende! Sie bestand seit dem 19.1.2014, also fast zwei Jahre lang, genau exakt war sie am 7.1.2015, 26.6.2015 und am 19.11.2015. Es ist erstaunlich, dass die Konjunktion so schnell abklingt, nachdem sie erst im vorangegangenen Monat nochmal exakt geworden war!
Die Konjunktion von Makemake mit dem GSZ wird exakt am: 4.11.2015, 28.2.2016, 21.9.2016, 24.4.2017 und 5.8.2017.

Langsamläufer-Impulse	H*				T*, H2*	H2*			H*	
Schnellläufer-Impulse	Tf, T	2T	H	2H	H, Hf	2H, T		H	T, Hf	H
Temperaturimpulse	K?, K, W	K	W	W		2W	W?*		2K, W	
Premeteo-Index -zyklonal, + antizyklonal (Index 1+2+3)	30	32	20	21	20	27	21	17	25	26
Pre.IX (ALTERNATIV)	1	21					14	16		
Index 1 (12 - 12 UTC) exakte Aspekte des Tages	14	14	2	5	4	16	5	1	4	5
Index 1(ALTERNATIV)	-11	3					-2	0		
Symmetrien (0 - 0 UTC)	Ven 2 Jun Hau (00) H A 0, Index3! Sat 90 Nep Orc (05) T H? (12/6) ?* +7? Ves 23 Nep Eri (21) ?* Mer 10 Sat GaZ (22) A K? H +7?	Mer 8 Son GaZ (17) H H +7? Mer 8 Son Qua (21) H A +7?		GaZ 15 Son Pal (13) H --- Mar 74 Var GaZ (17) T ?* ---	Mar 74 Var Qua (01) Tst* --- Qua 15 Son Pal (03) H ---		Hau 9 Ven Mar (01) A H +7? GaZ 0 Qua Mer (20) ? H ?	Chi 35 Eri Cer (17) T --- Qua 0 GaZ Mer (19) ? A ?		Son 9 Sat GaZ (05) A K H +7? Mer 67 Nep Hau (06) ? --- Son 9 Sat Qua (12) A K H +7? Hau 7 Mar Jun (19) H H +7?
Index 2 (12 - 12 UTC)	0	0	0	0	0	0	0	0	0	0
Index 2 ALTERNATIV										
ausgelöste LL-Aspekte	Mar 90 Pal H4 / 0 Sat 45 Hau H7 wegen Konj.-Symm.: Orc 45 Hau T* -11 Jun 60 Qua H5 Qua 90 Kn1 H* +11	Ven 60 GaZ T-2 Mar 90 Pal H4 Jun 60 Qua H5 Qua 90 Kn1 H* +11	Ven 60 GaZ T-2 Mar 90 Pal H4 Jun 60 Qua H5 Qua 90 Kn1 H* +11	Jun 60 Qua H5 Qua 90 Kn1 H* +11	Jun 60 Qua H5 Qua 90 Kn1 H* +11	Qua 90 Kn1 H* +11	Cer 45 GaZ H5 Qua 90 Kn1 H* +11	Cer 45 GaZ H5 Qua 90 Kn1 H11 (Qua 90 Kn2 H11) Cer 45 Qua H 5	Cer 45 GaZ H5 Qua 90 Kn1 H11 (Qua 90 Kn2 H11) Cer 45 Qua H 5	Cer 45 GaZ H5 Qua 90 Kn1 H* +11 Cer 45 Qua H 5
Index 3 (Summe)	16	18	18	16	16	11	16	16	21	21
Index 3 ALTERNATIV	12									
Symbol-Prognose	2	2	2	2	2	2	2	2	2	2
Symbol-Prognose altern.	3	2	2	2	2	2	2	2	2	2
Wochentag	Di	Mi	Do	Fr	Sa	So	Mo	Di	Mi	Do
Datum	1	2	3	4	5	6	7	8	9	10
reale Wetterlage	H1: 5H*, 2Hf, 12H - T*, Tf, 12T / +316									
Luftdruck (hpa) 06 UTC	1028	1030,7	1031,7	1030,6	1033,5	1030	1033,5	1033,3	1035,4	1039,5
mittl. Temp.(°C)	10,3	9	3,4	5,8	7,3	8,2	8,5	4,9	6,4	0,5
Sonnenscheindauer (h)	0	2,7	5,3	0	6	6,5	5,1	6,3	2,7	6
Niederschlag (Liter)	4,0 / 8	0	0	0,1 / 1	0	0,2	0	8,2 / 11	0	0
Bodenwetterlage 00 UTC (Kernlage des Druckgebiets, das SW-D beeinflusst)	H ü NO-Iber, T ü NO-D	H ü O-F	H ü Alpen	T ü Nsee, H ü Azoren, H ü Balk-MmR	H ü F	H mit Kernen ü M-Ital, Balk, Türkei	H ü N-Adria	H ü Ungarn	fl Höhentrog, H ü Biskaya, H ü Ukraine	H ü S-D
Bodenströmung 12 UTC zyklonal (z), antizyklonal (a)	a	a	a	a	a	a	a	a	a	a
Strömung auf 500 hpa 00 UTC	NW a-z	NW a	W a	SW a	a-z	a	SW fla	a-z	fl z	N a
zutreffende Wettersymbole	5 f	2-5 hr	2-3 r	5 f	2 r	2 r	2 r	2 r	2-3 r	2 r

Übertrag	05:40	03:11	06:46	06:51	03:15	04:19	01:42	01:58	00:01	01:16
Index 1: +15 / 0	MAR 0 APO	PAL 90 APO	VEN 0 JUN	VEN 90 VAR	CER 72 ERI	SON 45 JUN	VEN 72 PLU	MER 90 KN1	MAR 72 QUA	MER 60 JUN
Index 2: 0	WAA 10°54'45" WAA 10°54'44" Tf 0 / -10	STE 11°00'44" WAA 11°00'44" A*	WAA 27°47'00" WAA 27°46'60" H+2	WAA 28°57'20" KRE 28°57'19" H+2	WAS 10°25'22" WID 22°25'22" T*-5	SCH 13°42'21" WAA 28°42'20" H+3	SKO 02°13'17" STE 14°13'18" A	SCH 26°52'32" JUN 26°52'33" A	WAA 15°27'26" WAA 15°27'27" A	SCH 29°54'55" WAA 29°54'56" A
	08:51	13:49	16:43	07:07	04:51	09:34	02:53	03:08	02:39	14:47
	MAR 72 VAR WAA 10°59'26" KRE 28°59'26" A	VEN 60 GaZ WAA 26°57'36" SCH 26°57'37" T-2 A	SON 60 APO SCH 11°11'10" WAA 11°11'11" A W	SON 30 PAL SCH 11°47'41" STE 11°47'41" H+3	MER 120 ERI SCH 22°25'20" WID 22°25'21" H+1	SON 135 VAR SCH 13°55'40" KRE 28°55'40" H+1	VEN 30 GSZ SKO 02°16'46" WAA 02°16'47" A	MER 72 MAR SCH 26°57'02" WAA 14°57'02" T K-3	SON 120 URA SCH 16°40'56" WID 16°40'56" A	MER 144 SED STE 00°46'56" STI 24°46'57" A
	12:58	17:54	12:54	07:40	07:40	10:14	04:54	03:17	09:15	19:46
	JUN 30 KN1 WAA 27°13'20" JUN 27°13'20" A*	VEN 30 KN1 WAA 27°09'30" JUN 27°09'30" T K ---	MER 90 JUP SCH 21°23'35" JUN 21°23'35" A	VEN 72 PAL SKO 00°09'57" STE 12°09'56" H W? +8	SON 60 MAR SCH 13°57'22" WAA 13°57'23" H W +6	SON 72 FY9 SCH 14°44'45" WAA 02°44'46" H+1 / 0	MER 0 GaZ SCH 26°57'37" SCH 28°53'13" KRE 28°53'13" Hf K +7	MER 150 VAR SCH 28°53'13" KRE 28°53'13" Hf K +7	SAT 72 KN1 SCH 08°43'50" JUN 26°43'50" A*	SAT 72 KN1 SCH 08°43'50" JUN 26°43'50" A*
	14:00	20:48	22:54	09:01	11:44	12:28	03:32	09:57	20:01	
	MER 120 URA SCH 16°48'43" WID 16°48'45" T K? -1	VEN 60 QUA WAA 27°17'57" SCH 27°17'57" A	MAR 144 NEP WAA 13°05'43" FIS 07°05'43" A W	VEN 150 VES SKO 00°13'54" JUN 26°57'37" A*	GaZ 90 KN1 SCH 26°57'37" JUN 26°57'37" A*	VEN 30 FY9 SKO 02°44'56" WAA 02°44'57" A	MAR 72 GaZ WAA 14°57'37" SCH 26°57'37" A	CER 135 KN1 WAS 11°48'19" JUN 26°48'19" A*	MER 90 VES STE 01°07'03" WID 01°07'05" H+1	
	16:02	16:26	17:12	12:52	16:13	15:31	10:47	10:05		
	MER 90 CHI SCH 16°56'37" FIS 16°56'37" A K	JUN 60 QUA WAA 27°16'09" SCH 27°16'09" H* +5	SAT 90 ORC SCH 08°07'41" JUN 08°07'41" H? (12/6) +7	MER 144 VAR SCH 22°56'21" KRE 28°56'21" A	SON 30 PLU SCH 14°12'33" STE 14°12'34" A	VEN 144 KN2 SKO 02°53'55" FIS 26°53'56" A W?	MER 0 QUA SCH 27°26'34" SCH 27°26'35" A	SON 90 CHI SCH 16°59'49" FIS 16°59'48" A W		
	17:58	21:14	17:33	20:25	19:49	16:03	11:57	21:18		
	SON 72 KN1 SCH 09°12'41" JUN 27°12'40" A W	VEN 72 KN1 SCH 09°12'41" JUN 27°12'40" A W	MER 60 EL6 SCH 23°14'29" WAA 23°14'27" A	MER 72 APO SCH 23°25'34" WAA 11°25'35" A	SAT 45 CER SCH 26°14'15" WAA 11°14'13" A	MER 45 CER SCH 26°14'15" WAA 11°14'13" A	CER 120 APO WAS 11°49'57" WAA 11°49'58" A*	CER 45 GaZ WAS 11°57'37" SCH 26°57'37" H* +5		
	22:52	22:37	20:25	20:38	20:46					
	SON 60 CER SCH 09°25'06" WAS 09°25'06" A	VAR 72 APO KRE 28°59'04" WAA 10°59'04" H* +11 / 0	MER 72 NEP SCH 25°06'53" FIS 07°06'53" A W	VEN 135 CHI SKO 01°58'24" FIS 16°58'22" T-2	JUN 90 VAR WAA 28°55'18" KRE 28°55'18" A*	zu 6.12.2015 MAR 90 PLU WAA 14°12'56" STE 14°12'56" A				

Dezember 2015



Prognose für SW-Deutschland
korrigiert mit Quaoar- und Makemake-Aspekten

Noch immer sind Makemake mit dem GSZ und Quaoar mit dem GaZ in Konjunktion. Beide Aspekte sind unbekannt. Sie lösen vom 1. bis 20. immer wieder H-Aspekte aus, die die Prognose eventuell verfälschen können. Am 8. Dreier-Konjunktion GaZ-Qua-Mer. Am 19./20. Dreierkonjunktion GaZ-Qua-Son. Am 22. wird der unbekannte Aspekt Neptun 45° Eris exakt.
Am 28.12.2015 geht die Konjunktion von Quaoar mit dem Galaktischen Zentrum zu Ende! Sie bestand seit dem 19.1.2014, also fast zwei Jahre lang, genau exakt war sie am 7.1.2015, 26.6.2015 und am 19.11.2015. Es ist erstaunlich, dass die Konjunktion so schnell abklingt, nachdem sie erst im vorangegangenen Monat nochmal exakt geworden war!
Die Konjunktion von Makemake mit dem GSZ wird exakt am: 4.11.2015, 28.2.2016, 21.9.2016, 24.4.2017 und 5.8.2017.

Langsamläufer-Impulse	H*						T*, H*		2H*	
Schnellläufer-Impulse	3T		H	H, T	3T, 2H	T	H, T	T	5H	3T, Hf, H
Temperaturimpulse	W	W	W	K, W	K	W	K?, K, W	K	K	
Premeteo-Index -zyklonal, + antizyklonal (Index 1+2+3)	25	21	17	5	9	-6	11	14	42	32
Pre.IX (ALTERNATIV)										
Index 1 (12 - 12 UTC) exakte Aspekte des Tages	-3	0	1	0	2	-6	1	4	16	31
Index 1 (ALTERNATIV)										
Symmetrien (0 - 0 UTC)	Mer 90 Ves GSZ (06) H A +7 Jun 7 Ven Hau (09) H H +7 Mer 75 Mar Chi (09) A - Mer 89 Ves Mak (10) H A +0	Gaz 7 Son Mer (13) H H +7 Var 15op Pal Cer (14) T* ...	Qua 7 Son Mer (00) H A +7 Mer 72 Chi Hau (12) H W A A* ... Ura 15op Jun GSZ (12) H* ... Mer 9 Plu GaZ (20) H H +7	Mer 8 Plu Qua (01) H A +7 Mer 9 Pal GaZ (03) A H +7 Ves 15 Ura Chi (16) H* (B3) ...	Mer 177 Ura Eri (23) T A -7	Mer 68 Chi Jun (07) T* ...	Plu 2 Pal Mer (05) A* H ? Wegen Ven 60 Plu GaZ 1 Son Qua (12) H ? #	Eri 1op Mar Hau (01) A ? ? Ven 23 Sat Hau (04) H* (B3) ? Son 0 Qua GaZ (14) H H +14	Pal 59 Ven Chi (17) H A* A K ... Qua 1 Son GaZ (19) H ? ? Mer 2 Plu Pal (22) H A +7	
Index 2 (12 -12 UTC)	7	0	0	0	0	-7	0	0	14	0
Index 2 ALTERNATIV										
ausgelöste LL-Aspekte	Cer 45 GaZ H5 Qua 90 Kn1 H* +11 Cer 45 Qua H 5	Cer 45 GaZ H5 Qua 90 Kn1 H* +11 Cer 45 Qua H 5	Qua 90 Kn1 H* +11 Cer 45 Qua H 5	Cer 45 Qua H 5	Ven 45 GaZ H2 Jun 30 GSZ H5	Ven 45 GaZ H2 Jun 30 GSZ H5	Jun 30 GSZ H5 Jun 30 Mak H5	Jun 30 GSZ H5 Jun 30 Mak H5	Ven 45 GSZ H2 Jun 30 GSZ H5 Jun 30 Mak H5	Ven 45 GSZ H2 Jun 30 GSZ H5 Jun 30 Mak H5
Index 3 (Summe)	21	21	16	5	7	7	10	10	12	1
Index 3 ALTERNATIV										
Symbol-Prognose	2	2	2	3	3	3	2	2	2	2
Wochentag	Fr	Sa	So	Mo	Di	Mi	Do	Fr	Sa	So
Datum	11	12	13	14	15	16	17	18	19	20
reale Wetterlage						T1: T / -6	H2: 3H*, Hf, 7H - T*, 5T / +99			
Luftdruck (hpa) 06 UTC	1031,5	1027,8	1022,9	1023,4	1025,4	1027,1	1028,8	1025	1026	1022,3
mittl. Temp.(°C)	3,9	8,7	5,8	2,5	5,1	9,8	12,4	10,1	7,3	8,6
Sonnenscheindauer (h)	1,7	0,8	4,1	2,9	1,5	0,3	0,9	1,1	5,5	5,1
Niederschlag (Liter)	0	0	0	0	2,9	1,4 / 1	0,2	0,1	0	1,0
Bodenwetterlage 00 UTC (Kernlage des Druckgebiets, das SW-D beeinflusst)	H ü M-Alpen	H ü SW-F	H ü Balk	H ü Italien, H ü Tschechei, H ü S-Schweden, H ü Balkan	H ü Karpaten, T ü O-Atl	T nw Irlands, H ü NO-Balkan	H ü SO-F	H ü Iber, H ü Nm	H ü Alpen	H ü Balkan, T s Island
Bodenströmung 12 UTC zyklonal (z), antizyklonal (a)		a	a	a-z	a	z	a	a	a	a-z
Strömung auf 500 hpa 00 UTC	W a	WNW a-z	W fl a	SW fl a	W a-z	W a	NW a	SW a	NW a	SW a
zutreffende Wettersymbole	3-5 f	3-5 f	3 hr	3 r	5 hr	5 hr	5 hr	2-5 hr	2-3 r	2-3 r

MAR 180 URA WAA 16°39'20" WID 16°39'20" T -8	VEN 60 ORC SKO 08°07'29" JUN 08°07'30" A	MER 72 CHI STE 05°02'46" FIS 17°02'46" H W +1	SON 90 JUP SCH 22°17'33" JUN 22°17'32" A K	SON 144 VAR SCH 22°48'07" KRE 28°48'07" T -3	MER 30 SAT STE 09°21'49" SCH 09°21'51" A	SON 150 SED SCH 24°43'29" SKO 02°20'39" FIS 26°20'39" A* H +3	JUN 144 KN2 SKO 02°20'39" FIS 26°20'39" A* H +10	PLU 72 JUN STE 14°36'24" SKO 02°36'24" H* +10	VEN 45 FY9 SKO 17°50'13" WAA 02°50'14" T ---
VEN 45 JUP SKO 07°00'41" JUN 22°00'42" T -2	PAL 72 KN2 STE 14°39'36" FIS 26°39'36" A*	MER 72 EL6 STE 05°21'54" WAA 23°21'54" A	MAR 144 SED WAA 18°44'43" STI 24°44'43" H +4	VEN 45 GAZ SKO 11°57'37" SCH 26°57'38" H +2	MER 135 SED STE 09°43'46" STI 24°43'45" A	CHI 135 JUN FIS 17°06'34" SKO 02°06'34" T* ---	MER 90 APO STE 12°50'35" WAA 12°50'36" T -1	VEN 150 URA WID 16°34'45" A	MER 30 CER STE 15°29'59" WAS 15°29'58" Hf +7
VEN 120 NEP SKO 07°09'55" FIS 07°09'55" T W -4	VEN 30 SAT SKO 08°57'34" SCH 08°57'34" A W	SON 120 ERI SCH 22°22'12" WID 22°22'13" A	PLU 72 KN2 STE 14°29'16" FIS 26°29'16" A* K*	VEN 90 CER SKO 14°28'38" SCH 26°19'11" WAS 14°28'36" A K?	SON 80 KN1 SCH 26°19'11" JUN 26°19'11" A K	SON 0 GAZ SCH 26°57'39" SCH 26°57'38" H +6	VEN 135 VES SKO 18°03'15" WID 03°03'15" H +2		
VEN 144 VES SKO 07°11'59" WID 01°11'58" A	MER 60 NEP STE 07°12'51" FIS 07°12'53" T W -1	MER 120 ORC STE 08°07'04" JUN 08°07'03" A	SON 72 APO SCH 24°39'50" WAA 12°39'50" T W ---	URA 90 PAL WID 16°35'28" STE 16°35'28" A*	CHI 60 PAL FIS 17°08'21" STE 17°08'20" A*	VEN 180 FY9 WID 02°50'00" WAA 02°50'00" A*	MAR 135 NEP WAA 22°18'53" FIS 07°18'53" T -4		
PLU 0 PAL STE 14°21'20" STE 14°21'20" A*	VEN 45 KN1 SKO 11°30'49" JUN 26°30'49" A	JUP 150 ERI JUN 22°21'57" WID 22°21'57" A*	VEN 60 PLU SKO 14°33'18" STE 14°33'20" T K -2	VEN 120 CHI SKO 17°09'13" FIS 17°09'12" A K	MAR 180 ERI WAA 22°20'37" A				
MER 90 GSZ STE 02°16'50" WAA 02°16'49" A	VEN 30 APO SKO 12°31'56" WAA 12°31'56" H K ---	SON 60 EL6 SCH 23°23'41" WAA 23°23'41" T -6	PLU 30 CER STE 14°33'41" WAS 14°33'42" A*	VEN 45 GSZ SKO 17°16'55" WAA 02°16'53" H +2					
CER 45 QUA WAS 12°31'33" SCH 27°31'32" H* +10	VEN 45 QUA SKO 12°38'17" SCH 27°38'17" T ---	JUN 30 GSZ SKO 02°16'53" WAA 02°16'53" H* +5	MER 0 PLU STE 14°37'58" STE 14°37'57" H +2	JUN 30 FY9 SKO 02°50'07" WAA 02°50'07" H* +10					
MAR 150 CHI WAA 17°01'24" FIS 17°01'24" A	VEN 60 PAL SKO 17°31'20" STE 17°31'21" H +2	MER 72 JUN STE 14°52'42" SKO 02°52'42" A	VEN 60 PAL SKO 17°31'20" STE 17°31'21" H +2						
MER 90 FY9 STE 02°47'09" WAA 02°47'11" A	VEN 60 PAL SKO 17°31'20" STE 17°31'21" H +2	MER 72 JUN STE 14°52'42" SKO 02°52'42" A	VEN 60 PAL SKO 17°31'20" STE 17°31'21" H +2						
MAR 150 CHI WAA 17°01'24" FIS 17°01'24" A	VEN 60 PAL SKO 17°31'20" STE 17°31'21" H +2	MER 72 JUN STE 14°52'42" SKO 02°52'42" A	VEN 60 PAL SKO 17°31'20" STE 17°31'21" H +2						

Dezember 2015



Prognose für SW-Deutschland
korrigiert mit Quaoar- und Makemake-Aspekten

Noch immer sind Makemake mit dem GSZ und Quaoar mit dem GaZ in Konjunktion. Beide Aspekte sind unbekannt. Sie lösen vom 1. bis 20. immer wieder H-Aspekte aus, die die Prognose eventuell verfälschen können. Am 8. Dreier-Konjunktion GaZ-Qua-Mer. Am 19./20. Dreierkonjunktion GaZ-Qua-Son. Am 22. wird der unbekannte Aspekt Neptun 45° Eris exakt.
Am 28.12.2015 geht die Konjunktion von Quaoar mit dem Galaktischen Zentrum zu Ende! Sie bestand seit dem 19.1.2014, also fast zwei Jahre lang, genau exakt war sie am 7.1.2015, 26.6.2015 und am 19.11.2015. Es ist erstaunlich, dass die Konjunktion so schnell abklingt, nachdem sie erst im vorangegangenen Monat nochmal exakt geworden war!
Die Konjunktion von Makemake mit dem GSZ wird exakt am: 4.11.2015, 28.2.2016, 21.9.2016, 24.4.2017 und 5.8.2017.

Langsamläufer-Impulse		?		T*	H*		Hf*					
Schnellläufer-Impulse	H	H	H	Hf	3H, T	H, 2T	H, T	H, T	3H, Hf	H	2T, H	
Temperaturimpulse	W		W*	W*, W		W						
Premeteo-Index -zyklonal, + antizyklonal (Index 1+2+3)	-2	-6	9	3	28	3	10	-6	17	3	0	
Pre.IX (ALTERNATIV)		-17	-10	-2	23							
Index 1 (12 - 12 UTC) exakte Aspekte des Tages	-6	0	8	11	14	2	11	-2	10	3	0	
Index 1 (ALTERNATIV)			0	6	9							
Symmetrien (0 - 0 UTC)		Son 67 Mar Nep (11) T --- Son 67 Nep Hau (15) ? ?	Eri 150 Ven Jup (13) H A* A W + ?		Son 91 Ves GSZ (10) A H A* +14 Nep 45 Eri Mer (11) ? T A - ? Son 91 Ves Mak (17) A H A* +7 Mer 99 Eri Hau (20) A A ? ?	Mer 121 Jup Sed (15) A A H --- Orc 136 Eri Mer (13) H? A A +7 / 0	Plu 10 Son Mer (06) H K H +7? Ven 30 Mar GaZ (09) H T H +7 Son 72 Qa Hau (13) H A A* --- Sat 44 Mar Mer (17) T A H -7 Chi 29 Ura Cer (22) H* (8/3) H* A* --- Ven 31 Mar Qua (22) H H A 0 wegen Index 1	Son 9 Plu GaZ (01) H K H +7? GaZ 29 Ven Mer (12) T H A W ? Son 8 Plu Qua (13) H K H +7?		Plu 6 Son Pal (14) H A* +7? Sat 68 Mak Cer (17) H ---		
Index 2 (12 -12 UTC)	7	0	7	0	14	7		0	0	0	0	
Index 2 ALTERNATIV												
ausgelöste LL-Aspekte	Jun 30 GSZ H5 Ven 45 Mak T-2 Var 150 Qua T-11 Jun 30 Mak H5	Orc 45 Hau T 0 / -11 Var 150 Qua T-11 Jun 30 Mak H5	Orc 45 Hau T 0 / -11 Var 150 Qua T-11 Jun 30 Mak H5	Son 90 GSZ H3 (Orc 45 Hau T-11) Var 150 Qua T-11	Son 90 GSZ H3 Son 90 Mak H3 Cer 135 Mak H5 Var 150 Qua T-11	Cer 135 Mak H5 Var 150 Qua T-11	Ven 30 GaZ T-2 Cer 135 Mak H5 Var 150 Qua T-11	Ven 30 GaZ T-2 Mar 60 GaZ H4 Cer 135 Mak H5 Var 150 Qua T-11	Ven 30 Qua H2 Cer 135 Mak H5			
Index 3 (Summe)	-3	-6	-6	-8	0	-6	-8	-4	7	0	0	
Index 3 ALTERNATIV		-17	-17									
Symbol-Prognose	3	3	3	2	2	3	2	3	3	3	5	
	3	5	5	3	2	3	2	3	3	3	5	
Wochentag	Mo	Di	Mi	Do	Fr	Sa	So	Mo	Di	Mi	Do	
Datum	21	22	23	24	25	26	27	28	29	30	31	
reale Wetterlage	T2: H / -2 H3: Hf*, H*, 2Hf, 13H - T*, TT - ?* / +61											
Lufldruck (hpa) 06 UTC	1027	1030,5	1028,5	1027	1030,3	1032,4	1031,3	1031,3	1028	1030,3	1022,7	
mittl. Temp.(°C)	1027	11,3	10,9	11,5	12,1	8,5	6,5	8	2,2	3,5	5,8	
Sonnenscheindauer (h)	2	6	0	4,2	6,7	6,7	6,3	6,7	4	0	0	
Niederschlag (Liter)	4,6 / 12	0	0	0,3 / ...	0	0	0	0	0	0	2,5 / 8	
Bodenwetterlage 00 UTC (Kernlage des Druckgebiets, das SW-D beeinflusst)	T ü Nm, H ü Balk	H ü M-Italien	H ü S-Mm, T bei Island	H ü Kroatien	H ü N-Italien	H ü Alpen	H ü Alpen	H ü Alpen	H ü Sardi	H ü Balti	T ü GB, H ü O-Eu	
Bodenströmung 12 UTC zyklonal (z), antizyklonal (a)	a-z	fl a	fl a	z	a	a	a	a	a	a-z	fl a	
Strömung auf 500 hpa 00 UTC	SW a-z	W fl a	SW a	SW a	SW a-z	W a	SW a	W a	SW a	fl z	W fl a	
zutreffende Wettersymbole	5 hr	2-5 r	3-5 hr	3 r	2 r	2 hr	2 hr	2 hr	2 r	2-5 r	5 hr	

03:08	02:12	04:24	03:29	00:07	07:19	03:04	04:24	02:48	02:09	00:52
MER 90 URA STE 16°34'08" WID 16°34'09" H +1	VEN 72 ORC SKO 20°05'22" JUN 08°05'21" A*	NEP 144 APO WAA 13°21'26" A* W*	VEN 144 URA SKO 22°33'34" WID 16°33'35" A	SON 90 FY9 STE 02°51'19" WAA 02°51'18" H +6	MER 90 EL6 STE 23°31'21" WAA 23°31'22" Hf +11	CER 135 FY9 WAS 17°51'36" STE 25°43'23" SCH 10°43'23" KRE 28°33'43" H ---	MER 45 SAT STE 25°43'23" KRO 28°33'43" H ---	VEN 120 VAR SKO 28°33'44" KRE 28°33'43" H ---	SON 120 ORC STE 08°02'05" JUN 08°02'04" H +3	MER 180 VAR STE 28°31'34" KRE 28°31'34" T -2
05:42	05:29	10:36	08:58	01:02	14:59	04:26	06:14	03:23	07:05	01:44
VES 150 JUN WID 03°14'45" SKO 03°14'45" A*	NEP 45 ERI FIS 07°20'21" WID 22°20'21" A*	URA 60 CER WID 16°33'41" WAS 16°33'41" A*	JUP 144 CER JUN 22°53'17" WAS 16°53'17" T* W* 0 / -5	MAR 150 SED WAA 24°39'28" STI 24°39'28" H +4	VEN 30 MAR SKO 25°32'56" WAA 25°32'57" A	MAR 30 KN1 WAA 25°51'51" JUN 25°51'51" A	MER 120 KN1 STE 25°48'27" JUN 25°48'26" A	MAR 60 GaZ WAA 26°57'41" SCH 26°57'41" H +4	VEN 45 PLU SKO 29°59'22" STE 14°59'22" A	MAR 60 QUa WAA 28°02'22" SCH 28°02'23" A
13:40	06:30	21:18	10:04	06:12	15:00	05:38	15:10	08:26	11:03	14:23
MER 60 CHI STE 17°11'38" FIS 17°11'37" A W	MAR 45 ORC WAA 23°05'18" JUN 08°05'18" A	SON 45 CER STE 01°43'03" WAS 16°43'03" A	VEN 60 JUP SKO 22°53'23" WID 22°53'25" A W	MER 72 VES STE 22°12'19" WID 04°12'19" H ---	MAR 45 SAT WAA 25°32'58" SCH 10°32'58" T ---	MER 120 SED STE 24°38'27" STI 24°38'27" A	VEN 30 QUA SKO 27°58'32" SCH 27°58'33" H ---	MER 30 GaZ STE 26°57'40" SCH 26°57'41" H +1	MER 30 QUA STE 28°01'26" SCH 28°01'25" A	VEN 135 URA SCH 01°34'14" WID 16°34'15" H +2
16:16	11:04	22:59	10:37	08:31	16:19	10:35	22:00	12:46		15:14
MAR 30 JUP WAA 22°45'05" JUN 22°45'04" A	MER 0 PAL STE 18°26'51" STE 18°26'50" A	VEN 150 ERI SKO 22°20'01" WID 22°20'00" H +2	SON 90 GSZ STE 02°16'57" WAA 02°16'56" Hf +9	MER 90 ERI STE 22°19'45" WID 22°19'45" A	SON 90 VES STE 04°33'40" WID 04°33'39" H +3	SON 72 CHI STE 05°20'11" FIS 17°20'11" T -2	VEN 144 ERI SKO 28°19'12" WID 22°19'12" T -2	VEN 45 APO SKO 29°03'53" WAA 14°03'52" A		SON 135 SED STE 09°36'33" STI 24°36'33" A
	11:49		22:23	09:52	21:33	15:17		13:19		22:00
	MAR 144 CHI WAA 23°12'50" FIS 17°12'51" A		VEN 30 EL6 SKO 23°30'30" WAA 23°30'30" A	MER 45 NEP STE 22°24'04" FIS 07°24'05" T -1	VEN 60 KN1 SKO 25°52'46" JUN 25°52'46" A W	SON 72 EL6 STE 05°32'09" WAA 23°32'10" A		SON 60 NEP STE 07°29'24" FIS 07°29'24" A W		MAR 90 VAR WAA 28°30'34" KRE 28°30'35" T -4
	20:44			11:52	22:58	19:02		14:52		
	SON 144 SED STE 00°40'31" STI 24°40'30" A			CER 135 GSZ WAS 17°16'56" WAA 02°16'57" A	SON 60 JUN STE 04°50'36" SKO 04°50'37" T -3	VEN 30 GaZ SKO 26°57'40" SCH 26°57'40" T -2		MER 90 MAR STE 27°13'44" WAA 27°13'44" Hf +7		
	23:21			12:07						
	MAR 0 EL6 WAA 23°29'12" WAA 23°29'12" H +8 / 0			CHI 30 CER FIS 17°17'10" WAS 17°17'10" H* +5 / 0						
				20:20						
				MER 120 JUP STE 22°57'13" JUN 22°57'13" A						
				21:08						
				VEN 180 SED SKO 24°39'05" STI 24°39'04" A						
				22:29						
				MER 135 ORC STE 23°03'57" JUN 08°03'57" A						

Dezember 2015: Fehlprognosen

Datum	Vorzeichen Symbol	Analyse
22.	-6 2-5 r	Hoch Brigitte über Mittel-Italien. Der Premeteo-Index war nur im Index 3 zustande gekommen. Die Konjunktion von Mars mit Haumea , ein ausgewiesener H-Aspekt, scheint lokal dominant zu sein. Außerdem wurde an diesem Tag der Aspekt Neptun 45° Eris ?* exakt, dessen Impuls noch unbekannt war. Das Heranrücken des Hochdruckkerns mit seinem Isobarenfeld könnte auf einen H*-Aspekt hindeuten. Flacher Index.
28.	-6 2 hr	Hoch Brigitte über den mittleren Alpen. Flacher Index, einzelner, negativer Tag.